

Siehe ähnliche Dateien der ganzen Serie: <http://farbe.li.tu-berlin.de/egb5.htm>
 Technische Information: <http://farbe.li.tu-berlin.de> oder <http://color.li.tu-berlin.de>

TUB-Registrierung: 20230801-egb5/egb510na.txt /.ps
 Anwendung für Beurteilung und Messung von Display- oder Druck-Ausgabe
 TUB-Material: Code=rhatha



Regulartitätsindex $g^*_{16}=100$ $[\Delta L^*_{min}/\Delta L^*_{max}]$ für Diapalm

i	r*	g*	b*	r*	g*	b*	r*	g*	b*	rgb*	L*	ΔL^*_i
1	1	1	1	0.00	0.00	0.00	0.00	20.00	0.00	20.00	0.00	$\Delta L^*_{min}=0,00$
2	1	1	1	0.00	0.00	0.00	0.00	20.00	0.00	20.00	0.00	0,00
3	1	1	1	0.00	0.00	0.00	0.00	20.00	0.00	20.00	0.00	0,00
4	1	1	1	0.00	0.00	0.00	0.00	20.00	0.00	20.00	0.00	0,00
5	66	54	68	0.25	0.21	0.26	0.24	38,29	18,29	$\Delta L^*_{max}=18,29$	6,13	
6	84	84	84	0.32	0.32	0.32	0.32	44,42	4,42		5,34	
7	101	101	101	0.39	0.39	0.39	0.39	49,77	4,96		5,34	
8	118	118	118	0.46	0.46	0.46	0.46	54,73	5,06		5,34	
9	135	135	135	0.53	0.53	0.53	0.53	59,80	5,02		5,34	
10	152	152	152	0.59	0.59	0.59	0.59	64,83	5,14		5,34	
11	170	170	170	0.66	0.66	0.66	0.66	69,98	4,88		5,34	
12	186	186	186	0.73	0.73	0.73	0.73	74,80	5,10		5,34	
13	203	203	203	0.79	0.79	0.79	0.79	79,77	4,80		5,34	
14	220	220	220	0.86	0.86	0.86	0.86	84,76	4,79		5,34	
15	237	237	237	0.93	0.93	0.93	0.93	89,97	5,12		5,34	
16	254	254	254	1.00	1.00	1.00	1.00	95,00	5,02		5,34	

$r^*_n=[r^*_i \cdot r^*_i] / [r^*_{16} \cdot r^*_{16}]$ [1], ähnlich für g^*_n, b^*_n $rgb^*_n=[r^*_n \cdot g^*_n \cdot b^*_n] / 3$ [2]
 $L^*_n=rgb^*_n \cdot [L^*_w \cdot L^*_n] + L^*_n$ [3] $\Delta L^*_n=[L^*_{n+1} - L^*_n]$ [4]

egb50-1a ANC40-2N; sf: +1,5 stop



Regulartitätsindex $g^*_{16}=100$ $[\Delta L^*_{min}/\Delta L^*_{max}]$ für Diapalm

i	r*	g*	b*	r*	g*	b*	r*	g*	b*	rgb*	L*	ΔL^*_i
1	1	1	1	0.00	0.00	0.00	0.00	20.00	0.00	20.00	0.00	5,33
2	15	15	15	0.07	0.06	0.07	0.07	25,33	7,02		5,33	
3	33	33	33	0.17	0.15	0.16	0.16	32,36	6,88		5,33	
4	50	50	50	0.26	0.24	0.25	0.25	39,04	6,62		5,33	
5	67	67	67	0.35	0.32	0.34	0.34	45,67	6,62		5,33	
6	84	84	84	0.44	0.40	0.44	0.43	52,39	6,71		5,33	
7	101	101	101	0.53	0.49	0.53	0.52	59,18	6,79		5,33	
8	118	118	118	0.62	0.57	0.62	0.61	65,81	6,62		5,33	
9	135	135	135	0.72	0.66	0.71	0.70	72,52	6,71		5,33	
10	152	152	152	0.81	0.74	0.81	0.79	79,34	6,62		5,33	
11	169	169	169	0.90	0.82	0.90	0.87	85,97	7,36	$\Delta L^*_{max}=7,36$	5,33	
12	186	186	186	1.00	0.93	1.00	0.97	93,34	1,65		5,33	
13	203	203	203	1.00	1.00	1.00	1.00	95,00	1,65		5,33	
14	187	204	187	1.00	1.00	1.00	1.00	95,00	0,00	$\Delta L^*_{min}=0,00$	5,33	
15	187	204	187	1.00	1.00	1.00	1.00	95,00	0,00	0,00	5,33	
16	187	204	187	1.00	1.00	1.00	1.00	95,00	0,00	0,00	5,33	

$r^*_n=[r^*_i \cdot r^*_i] / [r^*_{16} \cdot r^*_{16}]$ [1], ähnlich für g^*_n, b^*_n $rgb^*_n=[r^*_n \cdot g^*_n \cdot b^*_n] / 3$ [2]
 $L^*_n=rgb^*_n \cdot [L^*_w \cdot L^*_n] + L^*_n$ [3] $\Delta L^*_n=[L^*_{n+1} - L^*_n]$ [4]

egb50-1a ANC40-2N; sf: +1,5 stop



Regulartitätsindex $g^*_{16}=100$ $[\Delta L^*_{min}/\Delta L^*_{max}]$ für Diapalm

i	r*	g*	b*	r*	g*	b*	r*	g*	b*	rgb*	L*	ΔL^*_i
1	4	4	4	0.00	0.00	0.00	0.00	20.00	0.00	20.00	4.40	$\Delta L^*_{min}=4,40$
2	19	18	19	0.05	0.05	0.05	0.05	24,40	4,40		4,40	
3	34	33	34	0.11	0.11	0.11	0.11	28,81	5,01		4,40	
4	50	50	50	0.18	0.18	0.18	0.18	33,82	5,21	$\Delta L^*_{max}=5,21$	4,40	
5	67	67	67	0.25	0.25	0.25	0.25	39,04	5,07		4,40	
6	84	84	84	0.32	0.32	0.32	0.32	44,11	5,09		4,40	
7	101	101	101	0.38	0.38	0.38	0.38	49,20	5,09		4,40	
8	118	118	118	0.45	0.45	0.45	0.45	54,29	5,11		4,40	
9	135	135	135	0.52	0.52	0.52	0.52	59,40	5,11		4,40	
10	152	152	152	0.59	0.59	0.59	0.59	64,51	5,07		4,40	
11	169	169	169	0.66	0.66	0.66	0.66	69,58	5,07		4,40	
12	186	186	186	0.72	0.72	0.72	0.72	74,73	5,15		4,40	
13	203	203	203	0.79	0.79	0.79	0.79	79,78	5,05		4,40	
14	220	220	220	0.86	0.86	0.86	0.86	84,87	5,19		4,40	
15	237	237	237	0.93	0.93	0.93	0.93	90,06	4,93		4,40	
16	254	254	254	1.00	1.00	1.00	1.00	95,00	0,00		4,40	

$r^*_n=[r^*_i \cdot r^*_i] / [r^*_{16} \cdot r^*_{16}]$ [1], ähnlich für g^*_n, b^*_n $rgb^*_n=[r^*_n \cdot g^*_n \cdot b^*_n] / 3$ [2]
 $L^*_n=rgb^*_n \cdot [L^*_w \cdot L^*_n] + L^*_n$ [3] $\Delta L^*_n=[L^*_{n+1} - L^*_n]$ [4]

egb50-6a ANC40-5N; sf: +0,0 stop

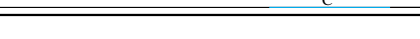


Regulartitätsindex $g^*_{16}=100$ $[\Delta L^*_{min}/\Delta L^*_{max}]$ für Diapalm

i	r*	g*	b*	r*	g*	b*	r*	g*	b*	rgb*	L*	ΔL^*_i
1	2	1	2	0.00	0.00	0.00	0.00	20.00	0.00	20.00	4.70	$\Delta L^*_{min}=4,70$
2	17	17	18	0.06	0.06	0.06	0.06	24,70	4,70		4,70	
3	33	33	34	0.12	0.12	0.12	0.12	29,40	4,97		4,70	
4	50	50	50	0.19	0.19	0.19	0.19	34,38	5,05		4,70	
5	67	67	67	0.26	0.25	0.25	0.25	39,43	5,05		4,70	
6	84	84	84	0.32	0.32	0.32	0.32	44,49	5,09		4,70	
7	101	101	101	0.39	0.39	0.39	0.39	49,59	5,05		4,70	
8	118	118	118	0.46	0.46	0.46	0.46	54,65	4,91		4,70	
9	135	135	135	0.53	0.52	0.52	0.52	59,57	5,05		4,70	
10	152	152	152	0.59	0.59	0.59	0.59	64,73	5,15	$\Delta L^*_{max}=5,15$	4,70	
11	169	169	169	0.66	0.66	0.66	0.66	69,78	5,05		4,70	
12	186	186	186	0.73	0.73	0.73	0.73	74,80	5,01		4,70	
13	203	203	203	0.79	0.79	0.79	0.79	79,84	5,05		4,70	
14	220	220	220	0.86	0.86	0.86	0.86	84,94	5,03		4,70	
15	237	237	237	0.93	0.93	0.93	0.93	89,98	5,01		4,70	
16	254	254	254	1.00	1.00	1.00	1.00	95,00	0,00		4,70	

$r^*_n=[r^*_i \cdot r^*_i] / [r^*_{16} \cdot r^*_{16}]$ [1], ähnlich für g^*_n, b^*_n $rgb^*_n=[r^*_n \cdot g^*_n \cdot b^*_n] / 3$ [2]
 $L^*_n=rgb^*_n \cdot [L^*_w \cdot L^*_n] + L^*_n$ [3] $\Delta L^*_n=[L^*_{n+1} - L^*_n]$ [4]

egb50-7a ANC40-6N; sf: +0,5 stop



Regulartitätsindex $g^*_{16}=100$ $[\Delta L^*_{min}/\Delta L^*_{max}]$ für Diapalm

i	r*	g*	b*	r*	g*	b*	r*	g*	b*	rgb*	L*	ΔL^*_i
1	4	4	4	0.00	0.00	0.00	0.00	20.00	0.00	20.00	4.55	$\Delta L^*_{min}=4,55$
2	17	17	18	0.06	0.06	0.06	0.06	24,55	4,55		4,55	
3	33	33	33	0.12	0.12	0.12	0.12	29,10	4,55		4,55	
4	50	50	50	0.19	0.19	0.19	0.19	34,21	5,08		4,55	
5	67	67	67	0.26	0.26	0.26	0.26	39,29	4,98		4,55	
6	84	84	84	0.32	0.32	0.32	0.32	44,27	5,10		4,55	
7	101	101	101	0.39	0.39	0.39	0.39	49,38	5,14		4,55	
8	118	118	118	0.46	0.46	0.46	0.46	54,52	4,94		4,55	
9	135	135	135	0.53	0.52	0.52	0.52	59,47	5,08		4,55	
10	152	152	152	0.59	0.59	0.59	0.59	64,69	5,22	$\Delta L^*_{max}=5,22$	4,55	
11	169	169	169	0.66	0.66	0.66	0.66	69,73	5,04		4,55	
12	186	186	186	0.73	0.73	0.73	0.73	74,82	5,08		4,55	
13	203	203	203	0.80	0.80	0.80	0.80	79,96	5,14		4,55	
14	220	220	220	0.86	0.86	0.86	0.86	85,01	5,04		4,55	
15	237	237	237	0.93	0.93	0.93	0.93	90,09	4,90		4,55	
16	254	254	254	1.00	1.00	1.00	1.00	95,00	0,00		4,55	

$r^*_n=[r^*_i \cdot r^*_i] / [r^*_{16} \cdot r^*_{16}]$ [1], ähnlich für g^*_n, b^*_n $rgb^*_n=[r^*_n \cdot g^*_n \cdot b^*_n] / 3$ [2]
 $L^*_n=rgb^*_n \cdot [L^*_w \cdot L^*_n] + L^*_n$ [3] $\Delta L^*_n=[L^*_{n+1} - L^*_n]$ [4]

egb50-8a ANC40-6N; sf: +2,0 stop



Regulartitätsindex $g^*_{16}=100$ $[\Delta L^*_{min}/\Delta L^*_{max}]$ für Negativfilm

i	r*	g*	b*	r*	g*	b*	r*	g*	b*	rgb*	L*	ΔL^*_i
1	4	4	4	0.00	0.00	0.00	0.00	20.00	0.00	20.00	2.71	$\Delta L^*_{min}=2,71$
2	15	14	12	0.04	0.04	0.02	0.03	22,71	5,62	$\Delta L^*_{max}=5,62$	2,71	
3	32	32	33	0.11	0.11	0.16	0.11	28,33	5,62		2,71	
4	50	50	50	0.18	0.18	0.17	0.18	33,59	5,26		2,71	
5	67	67	67	0.25	0.25	0.24	0.25	38,79	5,20		2,71	
6	84	84	84	0.31	0.31	0						